

## 8. 関東のバイオマстаунを対象とした CO<sub>2</sub>削減効果の評価

村野 昭人<sup>1\*</sup>・轟 真人<sup>2</sup>・川見 肇<sup>3</sup>

<sup>1</sup>東洋大学 理工学部 都市環境デザイン学科 (〒350-8585 埼玉県川越市鯨井2100)

<sup>2</sup>JFEエンジニアリング株式会社 (〒230-8611 神奈川県横浜市鶴見区末広町二丁目1番地)

<sup>3</sup>東洋大学大学院 工学研究科 環境・デザイン専攻 (〒350-8585 埼玉県川越市鯨井2100)

\* E-mail: amurano@toyo.jp

賦存量が多く、またカーボンニュートラルの性質を持つバイオマスの利活用が注目されている。そこで本研究では、まずGISを用いて、関東地方のバイオマスの発生分布状況を把握した。次に、関東地方のバイオマстаунを対象として、資源循環利用時のライフサイクルCO<sub>2</sub>およびライフサイクルコストの算定を行った。その結果、厨芥類、下水汚泥をメタン発酵した場合に、最大で年間約2.3万tのCO<sub>2</sub>削減となるなど、高いCO<sub>2</sub>削減ポテンシャルが確認できた。しかし、CO<sub>2</sub>削減量当たりの削減コストを算出した結果、一般的な排出量取引価格と比較して高い値となり、課題が残っていることが明らかとなった。現状のバイオマス事業の運用においては多額の補助金が必要であり、変換技術の効率改善が求められる結果となった。

**Key Words :** biomass, recycle, Life Cycle CO<sub>2</sub>, Life Cycle Cost, GIS

### 1. 研究の背景と目的

地球温暖化への取り組みが国際社会の喫緊の課題となる中、新たなエネルギー源としてバイオマスが注目され、その導入に向けた様々な政策が相次いで発表、策定されている。バイオマスは面的に薄く分布する特性を持っているため、バイオマスの種類によっては利用率が低いものも存在する(図-1)。すなわち、発生から利用までが効率的なプロセスで結ばれた総合的利活用システムの構築が求められている。

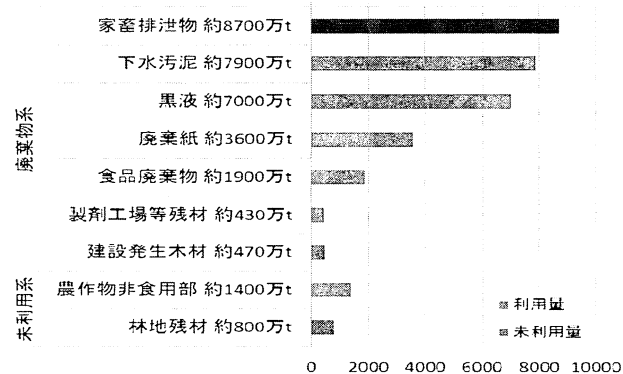


図-1 日本のバイオマス賦存量・利用量 (2008年)<sup>1)</sup>

そこで、本研究では、関東地方のバイオマスの発生分布状況を調査し、バイオマстаунにおける資源循環時のCO<sub>2</sub>削減ポテンシャルとライフサイクルコストの算定を行うとともに、バイオマстаун事業の投資採算性の分析・評価を行うことを目的とする。

研究の全体フローを図-2に示す。まずGISを用いて資源循環データベースを構築する。次に、政策・技術調査により得られた変換技術に基づいて、データベースから得られたバイオマス賦存量を対象としたLCA分析を行う。

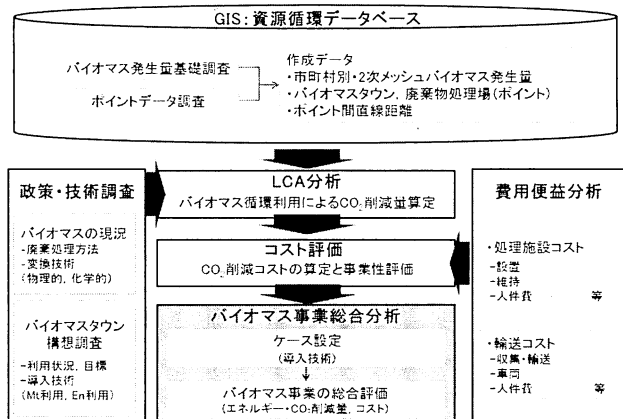


図-2 研究の全体フロー

最後に処理施設のコスト・輸送コストなどの評価を行い、バイオマス事業の総合評価につなげる。

## 2. バイオマス賦存量の地域特性の把握

賦存量に対する利用可能割合が高いバイオマスとして、下水汚泥、生活系厨芥類、事業系厨芥類、採卵鶏や稻わら、剪定枝等が挙げられる。その中でも厨芥類および下水汚泥は特に利用可能性が高いとされ、新しいエネルギー源として今後活用することが期待されている。また、木質系バイオマスは、森林におけるCO<sub>2</sub>吸収量を維持する目的からも、その利活用が注目されている。

図-3は、NEDOが作成したバイオマス賦存量の市町村別データ<sup>1)</sup>を基に、関東地方の厨芥類と下水汚泥の賦存量分布を2次メッシュ（10km×10km）により作成したものである。いずれも、都市部を中心にバイオマス賦存量が多くなっている様子が分かる。

次に、図-4に関東におけるバイオマスタウン<sup>2)</sup>とその焼却施設、最終処分場の立地拠点を位置データに基づき、マッピングした図を示す。2011年10月現在、全国には318地区的バイオマスタウンがあり、関東地方では31の市町村がバイオマスタウンに策定されている。

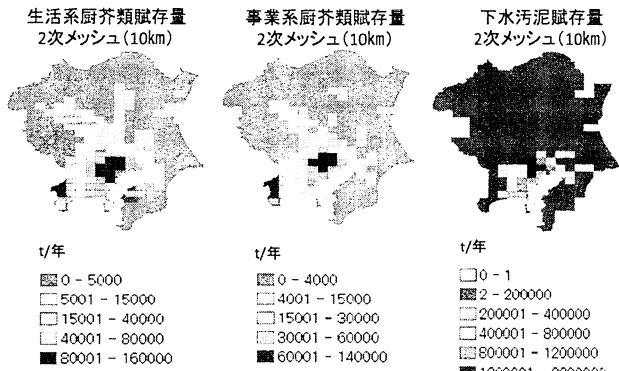


図-3 関東におけるバイオマスの賦存量分布

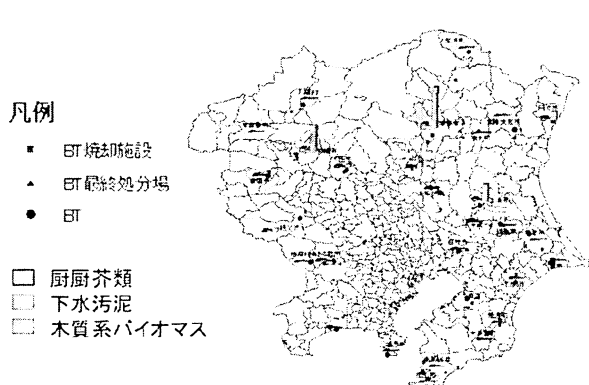


図-4 関東におけるバイオマスタウンの位置図

本研究では、2011年3月時点で策定されていた29市町村を対象として分析を行った。関東におけるバイオマスタウンごとの生活系および事業系厨芥類の賦存量分布を図-5に、下水汚泥の賦存量分布を図-6に、木質系バイオマスの賦存量分布を図-7に示す。

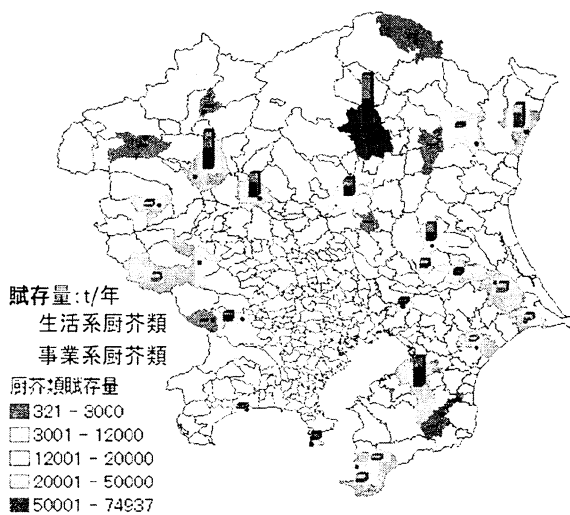


図-5 バイオマスタウンごとの厨芥類の賦存量分布

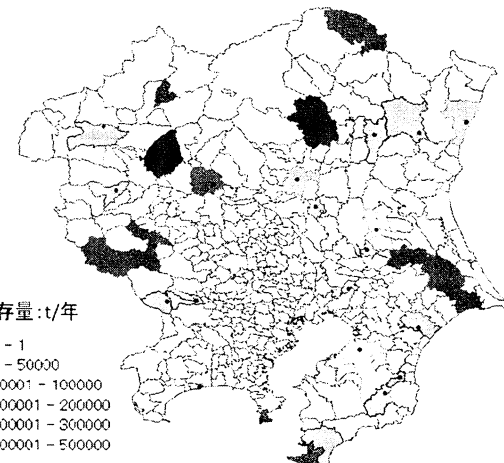


図-6 バイオマスタウンごとの下水汚泥の賦存量分布

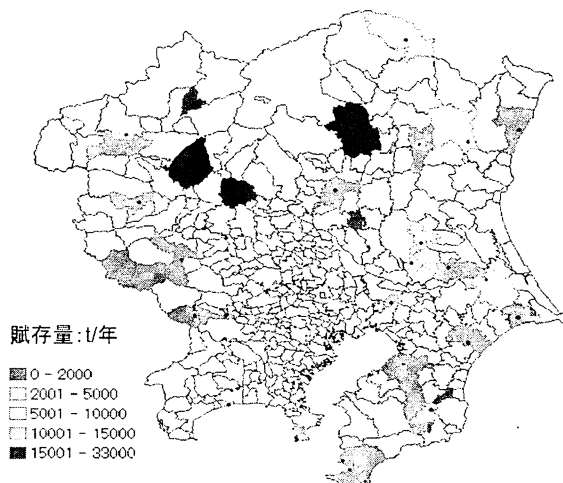


図-7 バイオマスタウンごとの木質系バイオマスの賦存量分布



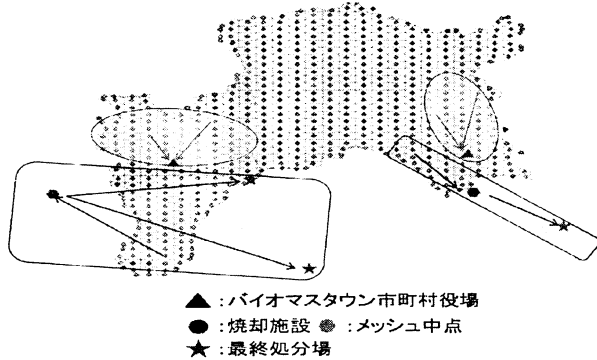


図-10 輸送方式の概念図

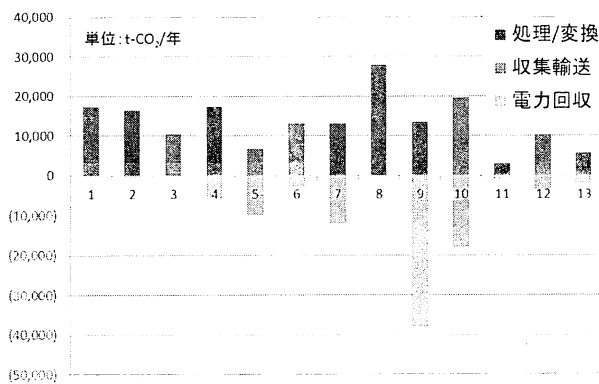


図-11 変換パターン別の LCCO<sub>2</sub>の算定結果

の要素を考慮して、換算係数を都市ごとに設定した。メッシュ内の収集・輸送においてはグリッドシティモデルを適用して算出した。

図-11に変換パターンごとのライフサイクルCO<sub>2</sub>の算定結果を示す。いずれのバイオマスについても処理、変換時のCO<sub>2</sub>排出量が多いことが分かる。下水汚泥（パターン7～10）は賦存量が多いため、全体的に電力回収によるCO<sub>2</sub>削減効果が大きくなっている。特にメタン発酵時（パターン9）の効果が大きいことが分かった。一方で下水汚泥を資源循環させた際のCO<sub>2</sub>排出量は、賦存量が厨芥類と木質系バイオマスの5倍以上あるにも関わらず、さほど多くなっていないことが分かる。

木質系バイオマスは厨芥類や下水汚泥と比べると賦存量は少ないが、パターン12における電力回収によるCO<sub>2</sub>削減量は年間で約3,500t-CO<sub>2</sub>となっており、その効果は決して小さいとは言えない結果となった。

#### 4. バイオマスタウン事業の評価

##### (1) バイオマスタウンのコスト評価

本節ではバイオマスの利活用事業におけるライフサイクルコスト（LCC）の算定を行った。バイオマス発生の

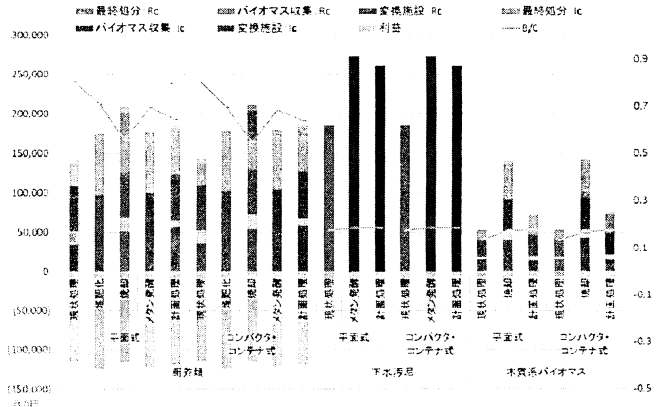


図-12 バイオマス循環によるライフサイクルコストの算出結果

収集・輸送、変換処理、最終処分までを評価対象範囲とし、基本的な処理施設の耐用年数を20年として、各工程のコストをイニシャルコストとランニングコストに分けて算定した<sup>7)</sup>。イニシャルコストとしては主に建設費と土地購入費を、ランニングコストとしては人件費、電気代等を算出した上で、回収した電力の売電による収入等を差し引いた。

図-12にライフサイクルコストの算出結果を示す。厨芥類と木質系バイオマスでは、バイオマス収集と変換施設にかかるランニングコストが高くなっていることが分かる。下水汚泥に関しては、変換施設のイニシャルコストが高くなっている。全体として、コストが高くなってしまっており、バイオマス事業の投資採算性は低い結果となった。

##### (2) 資源循環シミュレーション

最後にバイオマスのエネルギー利用時のCO<sub>2</sub>削減コストの算定を行った。利用方式としてはバイオマスを単独で利用した際のエネルギー単体利用と、2種類以上のバイオマスを用いたエネルギー複合型利用の2パターンとした。変換処理方法は燃焼利用とメタン発酵とし、全11ケースで算定を行った。表-3にそのケース設定を示す。ケース7～11については、厨芥類を燃焼利用する割合を10%～90%の範囲で変化させ、残りをメタン発酵するとした。

図-13にCO<sub>2</sub>削減コストの算定結果を示す。まずバイオマスの処理コストを算出した結果、バイオマス1t当たり1～2.6万円となった。また、ケース7～11において厨芥類の処理量の違いによる変化はあまり見られなかった。これは下水汚泥の処理量が多いことが原因と考えられる。次に、CO<sub>2</sub>削減量当たりのコストを算出した結果、ほぼ同様の傾向が得られた。CO<sub>2</sub>1t当たりのコストは13～170万円という値となり、一般的な排出量取引による価格と比較して、非常に高い結果となった。

表-3 資源循環シミュレーションケース

ケース	対象バイオマス	利用方式	変換処理方法
1	厨芥類		燃焼利用
2	厨芥類		メタン発酵
3	下水汚泥		メタン発酵
4	木質系バイオマス		燃焼利用
5	厨芥類+下水汚泥		メタン発酵
6	厨芥類+木質系バイオマス		燃焼利用
7~11	厨芥類+下水汚泥+木質系バイオマス	エネルギー複合型利用	燃焼利用+メタン発酵

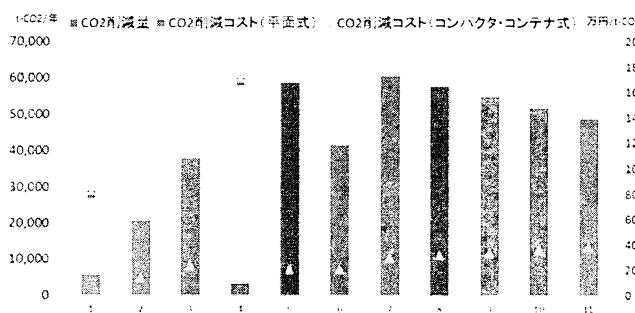


図-13 CO<sub>2</sub>削減コストの算定結果

## 5. 結論および今後の課題

本研究では、関東地方のバイオマстаунにおけるバイオマス資源循環利用時のライフサイクルCO<sub>2</sub>とライフサイクルコストの算定を行った。その結果、バイオマスのCO<sub>2</sub>削減ポテンシャルは高いが、コストに関しては課題が残っていることが明らかとなった。現状では、バイ

オマス事業の運用においては多額の補助金が必要であり、変換技術の効率改善が求められる。

今後の課題として、コストの詳細な分析や、実際の施設を対象とした、現行のシステムに沿った詳細なバイオマスの資源循環による環境改善効果の算定が挙げられる。

## 参考文献

- 1) NEDO, バイオマス賦存量及び利用可能量の全国市町村別推計 <http://appl.infoc.nedo.go.jp/biomass/>
- 2) 日本有機資源協会：バイオマстаун構想分析 DB
- 3) 高久慎太郎、山本祐吾、東海明宏、吉田登、盛岡通：地域で発生する厨芥類・下水汚泥を対象とした循環利用システムの導入効果の評価、環境システム研究論文集 Vol.38, pp.421-428, 2010.
- 4) 二渡了、坂本直子、乙間末廣：バイオマстаун構想実施事例における循環システムの評価、廃棄物資源循環学会論文誌, Vol.20, No.2, pp.141-149, 2009.
- 5) 下水汚泥処理における消化ガス発電の現状と動向, Kensetsu Denki Gijyutsu Vol.142 2003.
- 6) 産業環境管理協会, JEMAI-LCA Pro Ver2.0.1
- 7) 松藤敏彦：都市ごみ処理システムの分析・計画・評価、技報堂出版, 2005.

## Evaluation of CO<sub>2</sub> Reduction Effect by Biomass Circulation in Biomass-town located in Kanto Region

Akito MURANO<sup>1</sup>, Masato TODOROKI<sup>2</sup>, and Tsuyoshi KAWAMI<sup>3</sup>

<sup>1</sup>Dept. of Civil and Environmental Engineering, Toyo University

<sup>2</sup>JFE Engineering Corporation

<sup>3</sup>Graduate School of Toyo University

Toward a sustainable development, biomass utilization as a national strategy was issued by Japanese government. In this study, the database of biomass distribution in Kanto region was constructed by GIS. And life cycle CO<sub>2</sub> and life cycle cost to recycle the biomass such as sewage sludge, food wastes from household and wood biomass were estimated. In the result, about 23 kt-CO<sub>2</sub> per year was reduced by the methane fermentation of household food waste and sewage sludge, so high CO<sub>2</sub> reduction potential was evaluated. But the cost for operating plants, biomass transportation and so on was high, and eco-efficiency of biomass recycling is low. The CO<sub>2</sub> reduction cost to recycle the biomass was found to be much higher than the price of CO<sub>2</sub> in emissions trading. To promote the biomass utilization, the improvement of energy recovering rates or material recycling rates is indispensable and the financial support for recycling plants of biomass was needed.